

良い写像とハンドル分解

本間龍雄

序

M, N が向きのついた複3次元多様体であるとき, 写像 $f: M \rightarrow N$ が良い写像であるとは, M の各点 $p_1 = \text{計} \cdot \text{レ} \cdot p$ と $f(p)$ の局所座標が存在し, $p = f(p) = (0, 0, 0)$ で, 次の条件のうちのどれかが成立することである。

- 0) $f(x_1, x_2, x_3) = (x_1, x_2, x_3)$
- 1) $f(x_1, x_2, x_3) = (x_1^2, x_2, x_3)$
- 2) $f(x_1, z) = (x_1, z^2), z = x_2 + ix_3$
- 3) $f(x_1, z) = (x_1^2, z^3) z = x_2 + ix_3$

p が 0), 1), 2), 3) の条件をみたすとき, それを“ p の正則点, 折返し点, 分岐点, 折返し分岐点”と呼び, 正則点以外の点を特異点と呼ぶ。折返し点, 分岐点, 折返し分岐点の集合をそれを F, B, FB と書く。

$\mathcal{C}(F) = FUFB$, $\mathcal{C}(B) = BUBF$, FB はそれを有限個の, 曲面, 曲線, 点等, 折返し曲面, 分岐曲線, 折返し分岐点と呼ぶ。折返し曲面と分岐曲線は折返し分岐点で横断的に交わる。

6月の神戸大の集中講義で, M から N への仕事の連続写像は $E-H-M-H$ により良い写像に修正されることと, 良い写像 $f: M \rightarrow N$ が与えられれば, N のハンドル分解から M のハンドル分解を作れることが示された。本稿では N の 0-ハンドルから M の 0-ハンドル, N の 1-ハンドルから M の 0, 1-ハンドル, N の 2-ハンドルから M の 0, 1, 2-ハンドル, N の 3-ハンドルから M の 0, 1, 2, 3-ハンドルを構成する方法を示す。

(2)

N のハンドル分解より M のハンドル分解の構成

M, N は向きのついた複数多様体, $f: M \rightarrow N$ は良い写像, Σ を N のハンドル分解とする。 $D^i, i=0, 1, 2, 3, \Sigma$ は元を表わし, 0 は Σ の重心を表す。 $D^i \times D^{3-i}$ は Σ の i -ハンドルで, $D^i \times \{0\}, \{0\} \times D^{3-i}$ を i -ハンドル $D^i \times D^{3-i}$ のそれを “コア”, “ココア” と呼ぶ。その singularity の像と各ハンドルのコアは横断的に交わり, ハンドルとの交わりは直積状になっているものとする。即ち

ハンドルと singularity の像の交わり

= コアと singularity の像の交わり \times ココア

である。 i -ハンドル $D^i \times D^{3-i}$ の重心 $\{0\} \times \{0\}$ は singularity の像に含まれるものをとする。

命題 0 N の 0-ハンドルから M の 0-ハンドルが生じる。

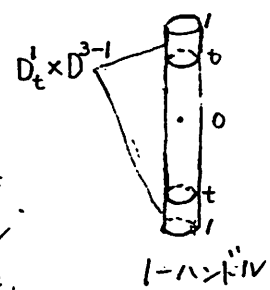
証明 N の 0-ハンドル $D^0 \times D^{3-0} = \{0\} \times D^{3-0}$ は singularity の像と交わらないとして良い。 $f^{-1}(D^0 \times D^{3-0})$ は重心 $\{0\} \times \{0\}$ の幾何的写像度の個数の 3-球である。これを f は ± 1 同相に $D^0 \times D^{3-0} = 0$ と見なす。 $f^{-1}(D^0 \times D^{3-0})$ の各 3-球を M の 0-ハンドルとする。記終

$D^i, i=1, 2, 3$, を “0” と “1” と “2” とする半径 1 の i -次元玉球として, 0×3 の名前 p までの距離 t を height function $t(p)$ とする。 D^i の高さが t 以上の部分を D_t^i と書く。

命題 1 N の 1-ハンドルから M の 0, 1-ハンドルが生じる。

証明 N の 1-ハンドル $D^1 \times D^{3-1}$ と singularity の像の交わりは有限個の折返し曲面係の disk たて “1” である。それが ± 1 は十分近くで, $D_t^1 \times D^{3-1}$ が singularity 像を含まないとき, $f^{-1}(D_t^1 \times D^{3-1})$ で

命題 0 が生じた M の有限個の 0-ハンドルに加えても、同じ個数の 3-球であるから、状況

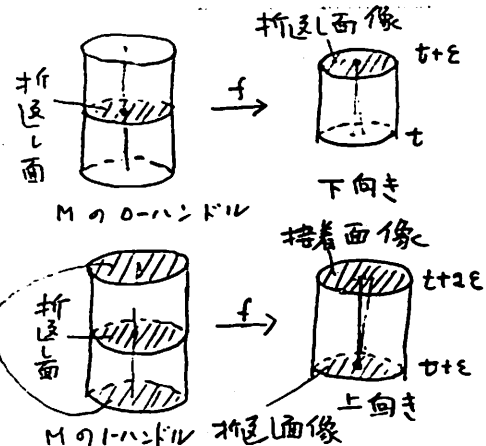


(3)

は変わらない。

t が下向きの 折返し面像 (高さ $t+\varepsilon$) を過ぎると、円柱状の 3-エボク M に生じるが、接着面がないので M の 0-ハンドルとなる。

t が上向きの 折返し面像 (高さ $t+\varepsilon$) を過ぎたとすると、 $f(D_{t+\varepsilon} \times D)$ は既にハンドル分解平に加えられているものとする。では、円柱状の 3-エボクが生じるが、 $t+2\varepsilon$ の click の逆像 (上底と下底) がハンドルの接着面となるので、M の 1-ハンドルである。
 t が 0 に達すると、 $\{0\} \times \{0\}$ の幾何的半像度の個数の 1-ハンドルが更に加わる。

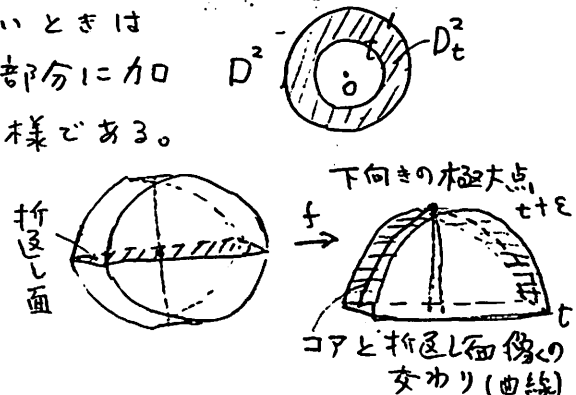


証明終

命題 2 N の 2-ハンドルより M の 0, 1, 2-ハンドルが生じる。

証明 2-ハンドルを $D^2 \times D^{3-2}$ とす。コア $D^2 \times \{0\}$ と折返し面像の交わりの曲線の極大点、極小点及び分歧点で M の 0, 1, 2-ハンドルが生じ、最後に $\{0\} \times \{0\}$ で 2-ハンドルが生じることは 命題 1 と同じである。また t が 1 に十分近いときは $f(D_t^2 \times D^{3-2})$ を 命題 0, 1 で生じた部分に加えても状況が變らないことも同様である。

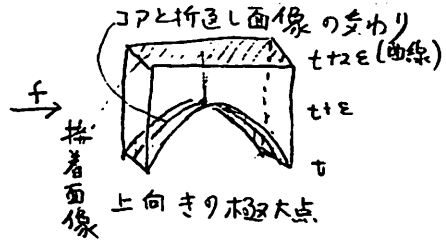
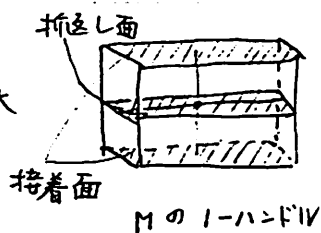
t がコアと下向きの 折返し面像の交わりの極大点 (高さは $t+\varepsilon$) を過ぎると、 M に円柱状の 3-エボクが生じるが、接着面がないので、これは M の 0-ハンドルとなる。



注意 折返し面はどの画でも水平に画いてある。

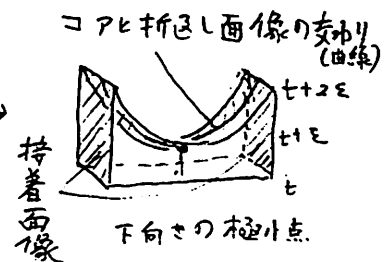
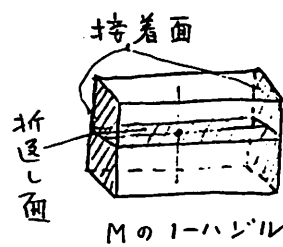
(4)

七がコアと上向きの
折返し面像の交わりの極大
点を過ぎると、図のようす。
直方体状の3-球がMに
加わったとして良いが、



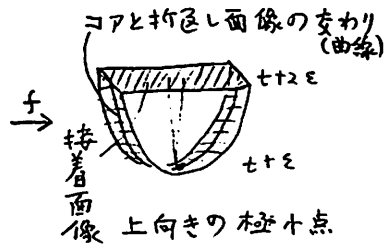
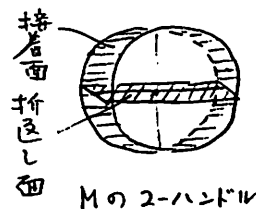
直方体の一組の対面が接着面となるので、Mの1-ハンドルである。

七がコアと下向きの
折返し面像の交わりの
極小点を過ぎると、直
方体状の3-球がMに
加わったとして良いが、直方体の

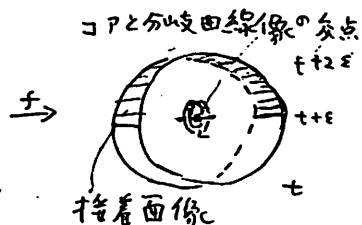


一組の対面が接着面となるので、Mの1-ハンドルである。

七がコアと上向きの折返し面
像の交わりの極小点を過ぎると、
円柱状の3-球がMに加わ
ったとして良いが、接着面はアルマス
たので、Mの2-ハンドルである。



七がコアと分岐曲線の
交点(高さは $t+\epsilon$)を過ぎると、
分岐曲線を軸とする円柱
状の3-球がMに加わると
して良いが、接着面は側面の二つのdiskとなるので、Mの1-ハンドル
である。



命題 3 N の 3-ハンドルから M の 0, 1, 2, 3-ハンドルが生じる

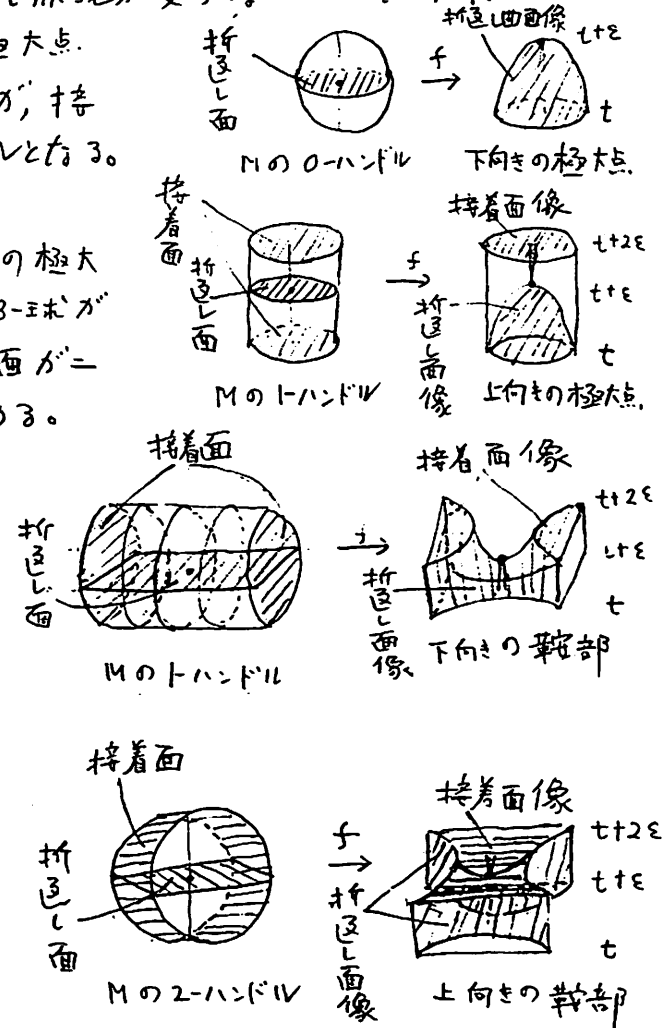
証明 N の 3-ハンドルを $D^3 \times D^{3-3}$ とする。 $D^{3-3} = \{0\}$ であるから コア $D^3 \times \{0\}$ と 3-ハンドル $D^3 \times D^{3-3}$ は同じである。折返し曲面像の極大点, 転写部, 極小点, 分岐曲線像の極大点, 極小点, 折返し分岐点像で M の 0, 1, 2, 3-ハンドルが生じる。 $\{0\} \times \{0\}$ で幾何学像度の個数の 3-ハンドルが生じることは命題 1, 2 と同じである。またセガエに充分近いときは $f(D_t^3 \times D^{3-3})$ を命題 0, 1, 2 で生じた部分に加えても状況が変わらないことを同様である。

t が下向きの折返し曲面像の極大点を過ぎると, M に 3-球が生じるが, 接着面がないので M の 0-ハンドルとなる。

t が上向きの折返し曲面像の極大点を過ぎると, M に円柱状の 3-球が加わったとして良いが, 接着面が二つの disk なので, 1-ハンドルである。

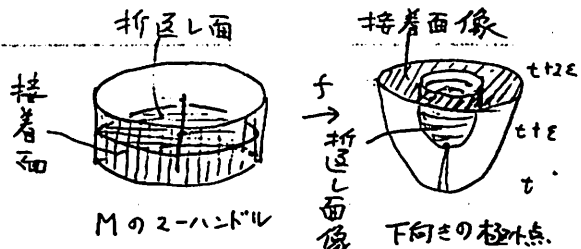
t が下向きの折返し曲面像の転写部を過ぎると, 四のようない円柱が M に生じるとして良いが, 接着面が二つの disk なので, M の 1-ハンドルである。

t が上向きの折返し曲面像の転写部を過ぎると, 四のようない円柱が M に生じるとして良いが, 接着面がアンエラスなので, M の 2-ハンドルである。

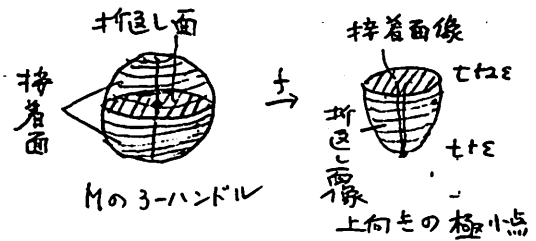


(6)

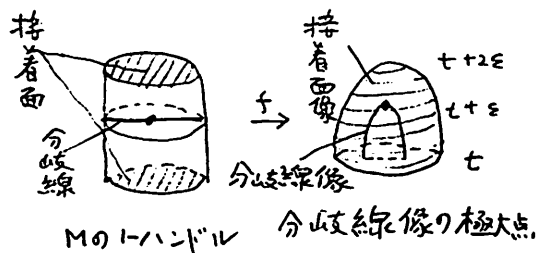
セガ下向きの折返し面像の極小点を過ぎると、図のようにMに円柱状の3-エボが生じるとして良い。接着面がアニエラスなので、Mの2-ハンドルである。



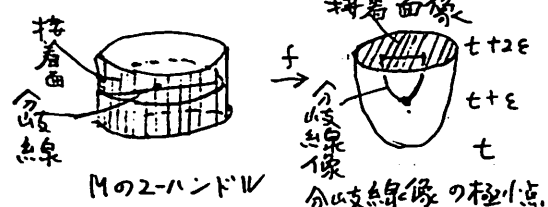
セガ上向きの折返し面像の極小点を過ぎると、図のようにMに3-エボが生じる。接着面が球面なので、Mの3-ハンドルである。



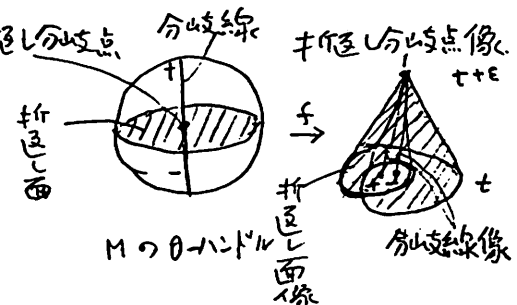
セガ分歧線像の極大点を過ぎると、円柱状の3-エボが生じる。接着面が2つのdiskでMの1-ハンドルである。



セガ分歧線像の極小点を過ぎると、円柱状の3-エボが生じるとして良い。接着面がアニエラスなのでMの2-ハンドルである。



セガ折返し分歧点像を過ぎるとMの0, 1, 2, 3-ハンドルが生じることを述べた。折返し分歧点像は一般的に一般的位置にしておくと、折返し曲面像は錐状になり、折返し分歧点像はその頂点となる。図のようにT頂点が上にあるときは、Mに接着面のない3-エボが生じるので、Mの0-ハンドルとなる。

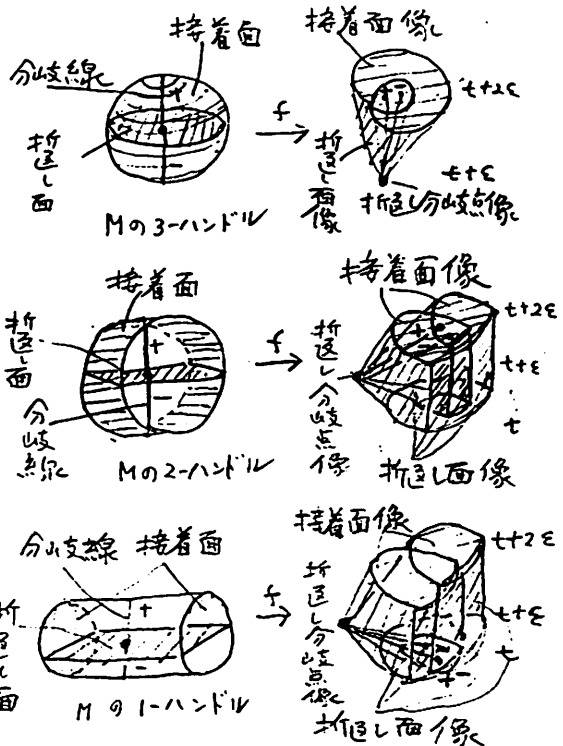


(7)

七が図のように金雀の下の頂点となって
いる折返し分歧点像を過ぎると, M は
接着面が球面の 3-ハンドルで生じるので
 M の 3-ハンドルである。

七が図のように横向きの折返し分歧点像を過ぎると, 分岐線像が上向きの場合接着面がアニエラスの円柱が生じるとして良いので,
 M は 2-ハンドルが生じる。分岐線像が下向きの場合は接着面が二つの disk の円柱が生じるとして良いので,
 M は 1-ハンドルが生じる。

命題 3. 証明終り。



参考文献

数学 第42巻 第1号 P.74-80(1990) ポアンカレ予想については、
木村 齊士雄